

第三章 快速傅里叶变换

课 程 作 业

【3.1】已知 $X(k)$, $k=0,1,\dots,2N-1$ 是一个 $2N$ 点实序列 $x(n)$ 的 DFT 值, 现需从 $X(k)$ 求 $x(n)$ 值, 为了提高运算效率, 设计一个 N 点的 IFFT 运算一次完成。

【3.2】令 $v(n) = x(n) + jy(n)$ 为长度为 N 的复值信号, 其 DFT 为 $V(k)$ 。 $x(n)$ 和 $y(n)$ 为两个实值信号且各自 DFT 分别为 $X(k)$ 和 $Y(k)$ 。

(1) 证明 $\text{DFT}[v^*(n)] = V^*(N-k)$ 。

(2) 试用 $v(n)$ 表示 $x(n)$ 和 $y(n)$ 。

(3) 结合前两小题的结果, 证明两个实值信号的 N 点 DFT 可以通过计算一个复值信号的 N 点 DFT 一次实现, 即证明通过计算 $V(k)$ 可以获得 $X(k)$ 和 $Y(k)$ 。

(4) 结合上一小题的结果, 参考基 2 DIT-FFT 算法的推导过程, 证明可以通过 $N/2$ 点 DFT 计算一个实值信号 $q(n)$ 的 N 点 DFT。

【3.3】 $X(e^{j\omega})$ 表示长度为 10 的有限长序列 $x(n)$ 的 DTFT。我们希望计算 $X(e^{j\omega})$ 在频率 $\omega_k = \frac{2\pi k^2}{100}$, $k=0,1,\dots,9$ 时的 10 个抽样, 讨论采用下列各方法的可能性:

(1) 直接利用 10 点的 FFT 算法, 若可能, 给出奇偶分解的最终计算公式和乘法次数。

(2) 利用线性调频 z 变换算法。

【3.4】当 DFT 的点数是 2 的整数幂时, 我们可以使用基 2—FFT 算法。但是, 当 $N=4^v$ 时, 使用基 4—FFT 算法效率更高。请根据所学知识完成下列问题:

(1) 推导 $N=4^v$ 时的基 4 按时间抽取的 FFT 算法。

(2) 画出基 4—FFT 算法的蝶形图, 比较基 4—FFT 算法和基 2—FFT 算法的复乘和复加次数。

【3.5】有一个长度为 $M=12$ 的时域序列, 如用 12 点 FFT, 可精确计算出位于数字频率 $2\pi/12$ 处测量点 A 的频谱幅值。现由于器件的限制, 必须采用基 2—FFT 来计算点 A 处的频谱幅值。假定允许测量点数字频率的误差在 ± 0.015 范围之内, 问至少应选用多少点的 FFT?

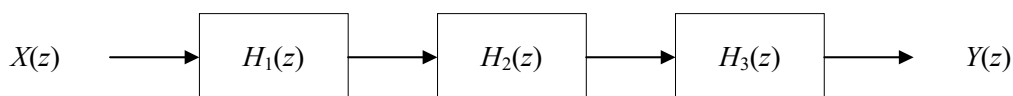
第四章 数字滤波器及其结构

课程作业

【4.1】已知某三阶数字滤波器的系统函数为 $H(z) = \frac{3 + 2.4z^{-1} + 0.4z^{-2}}{(1 - 0.6z^{-1})(1 + z^{-1} + 0.5z^{-2})}$,

试画出其直接 II 型、级联型和并联型结构。

【4.2】考虑图所示的三个因果一阶 LTI 离散时间系统的级联：



其中 $H_1(z) = \frac{1 - 0.6z^{-1}}{1 + 0.25z^{-1}}$, $H_2(z) = \frac{0.2 + z^{-1}}{1 + 0.3z^{-1}}$, $H_3(z) = \frac{2}{1 + 0.25z^{-1}}$ 。

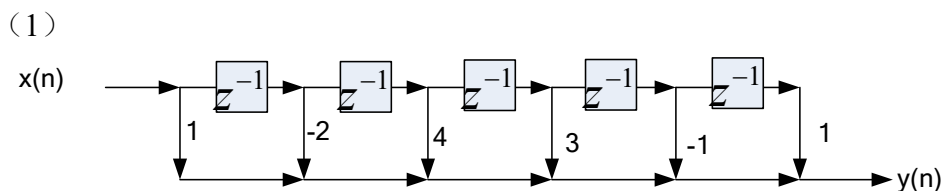
- (1) 求用的两个多项式的比表示整个系统的传输函数。
- (2) 求描述整个系统的差分方程。
- (3) 级联的三个部分分别用直接 II 型的形式表示，画出整个系统的框图。
- (4) 用并联 I 型的形式画出整个系统的框图。
- (5) 给出整个系统冲激响应的表达式。

【4.3】一个线性时不变系统的单位脉冲响应为

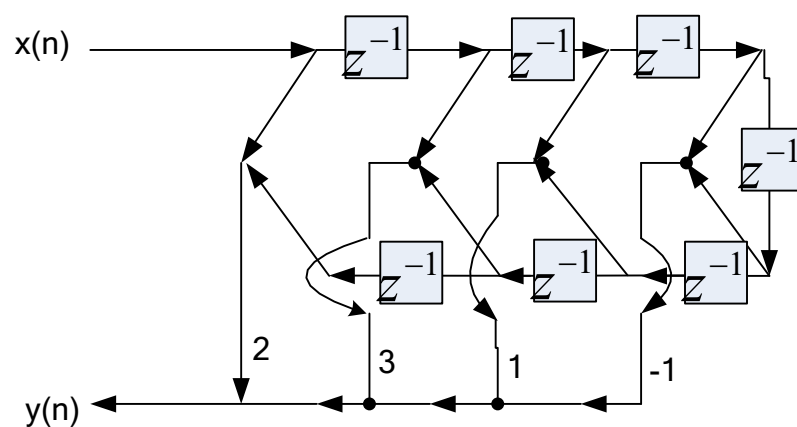
$$h(n) = \begin{cases} a^n & 0 \leq n \leq 7 \\ 0 & \text{其他} \end{cases}$$

- (1) 通过单位脉冲响应画出该系统的直接型 FIR 结构图。
- (2) 求出该系统的系统函数 $H(z)$ ，并由该系统函数画出由 FIR 系统和 IIR 系统级联而成的结构图。
- (3) 比较 (1) 和 (2) 两种系统实现方法，哪一种需要较多的延迟器？哪一种实现需要较多的运算次数？

【4.4】求下列各图所示各系统的单位脉冲响应 $h(n)$ 。



(2)



【4.5】已知 $H(z) = 1.918(1 - 3.5z^{-1} + 7.75z^{-2} - 7.75z^{-3} + 3.5z^{-4} - z^{-5})$, 画出该 FIR 滤波器的线性相位结构。